

**В.И. Корсун, д-р техн. наук, Ю.В. Жихарев**

(Украина, Днепрпетровск, Национальный горный университет)

## **ПОИСК ГЛОБАЛЬНОГО ЭКСТРЕМУМА ФУНКЦИИ С ПОМОЩЬЮ ОСНОВАННОГО НА ПРИНЦИПЕ СИММЕТРИИ ВЗАИМОДЕЙСТВИЯ ДВУХ ТЯЖЕЛЫХ ШАРИКОВ**

### **Введение**

При проектировании различного рода устройств и современных систем управления возникает необходимость нахождения наилучшего решения из некоторого множества возможных. Математически это формулируется в виде задачи поиска экстремума функции  $f(x)$ .

Для решения последней очень часто привлекают методы установления [1]: градиентный метод и метод тяжелого шарика, нестационарные процессы которых описываются векторными дифференциальными уравнениями:

$$\frac{dx}{dt} + k \text{grad} f(x) = 0, \quad k > 0; \quad (1)$$

$$m \frac{d^2 x}{dt^2} + \nu \frac{dx}{dt} + \text{grad} f(x) = 0, \quad m > 0, \quad \nu > 0. \quad (2)$$

соответственно. Предполагается, что с течением времени эти процессы сойдутся в точке экстремума.

Алгоритмы (1) и (2) наряду с преимуществами, имеют и некоторые недостатки. Процесс поиска, реализуемый алгоритмом (1), заканчивается, например, в первом локальном экстремуме, который встречается на пути движения изображающей точки. Что же касается алгоритма (2), то при соответствующем подборе массы  $m$  и коэффициента демпфирования  $\nu$  он способен за счет инерции тяжелого шарика отыскать глобальный экстремум функции  $f(x)$ , имеющей рельеф поверхности с небольшой «рябью». При колебаниях рельефа поверхности функции с большей амплитудой алгоритм (2) тоже заканчивает свою работу в ее первом локальном минимуме.

### **Анализ последних источников, где решается задача распараллеливания процесса поиска экстремума**

В работах [2, 3] был предложен и исследован новый метод установления, который реализует процедуру распараллеливания процесса поиска экстремума  $f(x)$  посредством взаимодействия аргументов  $y$  и  $z$  вспомогательной симметрической функции

$$F(y, z) = 0,5 \left( (y - z)^T Q(y - z) + f(y) + f(z) \right), \quad (3)$$

где  $Q$  – положительно определенная симметрическая матрица.

В (3)  $\min_{y,z} F(y,z) = F(x^*, x^*)$ , где  $x^* = \arg \min f(x)$ .

Использование градиентного алгоритма, который для функции (3) принимает вид системы уравнений:

$$\begin{cases} \frac{dy}{dt} = -kQ(y-z) - 0,5k \text{grad}f(y), & y(0) = y_0; \\ \frac{dz}{dt} = -kQ(z-y) - 0,5k \text{grad}f(z), & z(0) = z_0 \neq y_0, \quad k > 0, \end{cases} \quad (4)$$

при поиске глобального экстремума функции  $f(x)$  не дает положительного результата: изображающие точки останавливаются в локальных экстремумах (рис.1).

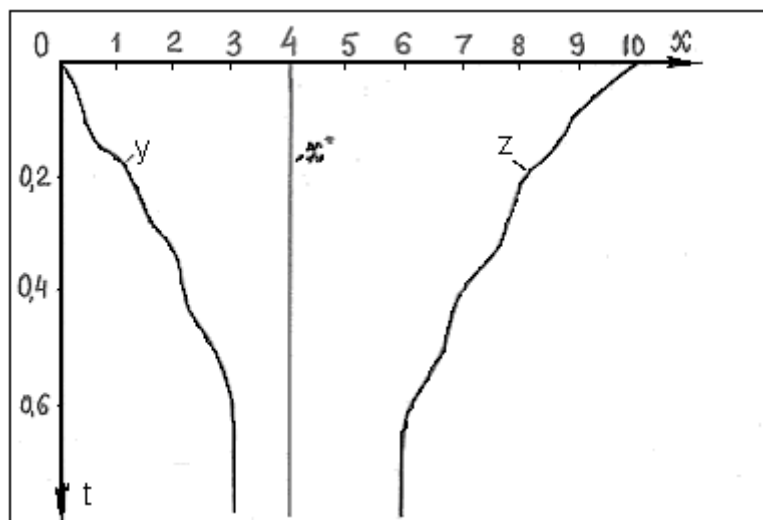


Рис.1. Траектории движения изображающих точек  $y$  и  $z$ , заканчивающиеся в локальных экстремумах

### Постановка задачи

Ставится задача усовершенствования классического алгоритма тяжелого шарика [4] с помощью использования принципа симметрии, а также исследования работы предлагаемого метода поиска экстремума функции путем математического моделирования.

### Синтез алгоритма поиска экстремума функции

Действительно, применив алгоритм (2) к вспомогательной симметрической функции (3), получим:

$$m \frac{d^2}{dt^2} \begin{bmatrix} y \\ \dots \\ z \end{bmatrix} + v \frac{d}{dt} \begin{bmatrix} y \\ \dots \\ z \end{bmatrix} + \text{grad}F(y, z) = 0. \quad (5)$$

Выражение (5) можно представить как

$$\begin{cases} m \frac{d^2 y}{dt^2} + v \frac{dy}{dt} + \frac{\partial F(y, z)}{\partial y} = 0; \\ m \frac{d^2 z}{dt^2} + v \frac{dz}{dt} + \frac{\partial F(y, z)}{\partial z} = 0. \end{cases} \quad (6)$$

Исследуем работу алгоритма (6) при поиске глобального экстремума функции

$$f(x) = k(x-a)^2 + b - c \cos(2\pi x). \quad (7)$$

Выбор этой функции для тестирования алгоритма (6) обусловлен ее многоэкстремальным характером: график  $f(x)$  содержит большое количество локальных экстремумов, которые находятся в непосредственной близости от глобального экстремума.

Вспомогательная симметрическая функция  $F(y, z)$  для (7) запишется следующим образом:

$$F(y, z) = 0,5(k(y-a)^2 + b - c \cos(2\pi y) + k(z-a)^2 + b - c \cos(2\pi z)) + 0,5q(y-z)^2. \quad (8)$$

Ей соответствует алгоритм (6) :

$$\begin{cases} \frac{dy_1}{dt} = y_2; \\ \frac{dy_2}{dt} = -\frac{k}{m}(y_1 - a) - 2\pi \frac{c}{m} \sin(2\pi y_1) - q(y_1 - z_1) - \frac{v}{m} y_2; \\ \frac{dz_1}{dt} = z_2; \\ \frac{dz_2}{dt} = -\frac{k}{m}(z_1 - a) - 2\pi \frac{c}{m} \sin(2\pi z_1) + q(y_1 - z_1) - \frac{v}{m} z_2, \end{cases} \quad (9)$$

где  $y_1 = y$ ;  $z_1 = z$ .

Аналитическое и графическое представления функция (7) при  $k = 0,2$ ,  $a = 4$ ,  $b = 3$  и  $c = 0,5$  будут иметь вид:

$$f(x) = 0,2(x-4)^2 + 3 - 0,5 \cos(2\pi x). \quad (10)$$

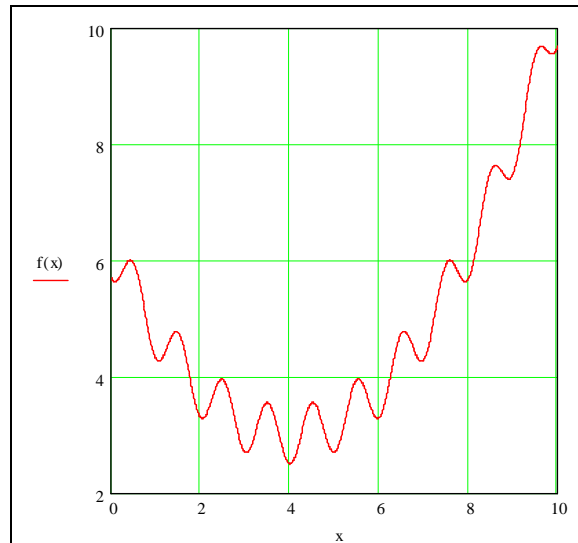


Рис.2. График многоэкстремальной функции (10)

Для решения системы (9) зададим начальные условия. Из рис.2 видим, что глобальный оптимум находится в точке с координатой  $x = 4$ . Поэтому выберем  $y_1(0) = 0$ ,  $z_1(0) = 10$ . Предположим, что шарики в начальный момент времени находятся в состоянии покоя, т.е.  $y_2(0) = z_2(0) = 0$ . Кроме того, примем  $q = 1$ ,  $\nu = 2$ .

Результаты решения системы (9) приведены на рис.3.

Для этого были задействованы тяжелые шарики с массами  $m = 2,16$  каждый. Из расчетов следует, что  $y_1(10) = 4,044$ ,  $z_1(10) = 3,986$ .

Регулируя массы тяжелых шариков, можно без труда получить еще более высокую точность результата. Главная цель, преследуемая при этом, – путем настройки параметра  $m$  в коэффициентах  $\frac{\nu}{m}$  и  $\frac{1}{m}$  системы (9) предотвратить сходимость изображающих точек в локальном экстремуме функции  $f(x)$ .

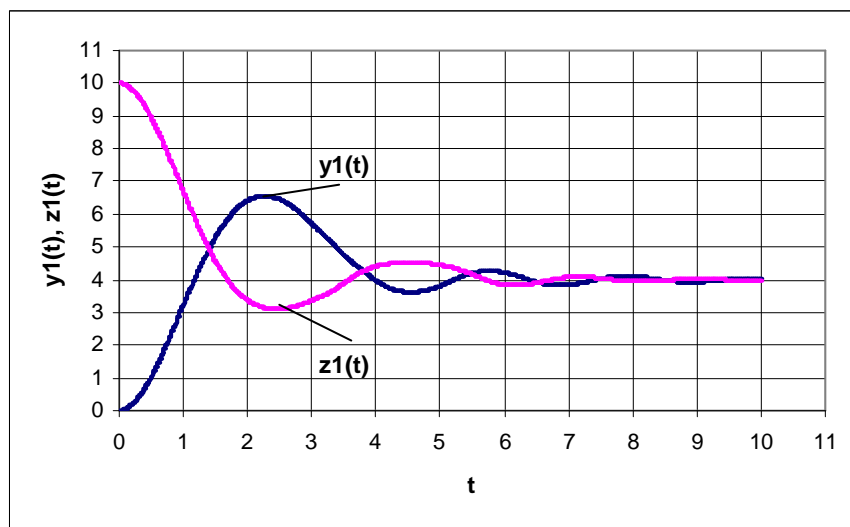


Рис.3. Решение системы (9) для тяжелых шариков с массами  $m = 2,16$  каждый

Нетрудно заметить, что процесс движения изображающих точек сходится к точке глобального экстремума  $x^* = 4$ .

Осуществим дальнейшее исследование алгоритма (6). Для этого увеличим в формуле (7) параметр  $c$ , который регулирует амплитуду колебаний одной из составляющих этой функции, в несколько раз. Например, вместо  $c = 0,5$  возьмем  $c = 2$  и проведем анализ процесса поиска глобального экстремума полученной функции  $f(x) = 0,2(x - 4)^2 + 3 - 2 \cos(2\pi x)$ . Ее график представлен на рис.4, а результаты решения системы (9) при  $c = 2$  – на рис.5.

Процесс движения изображающих точек закончился в точке глобального оптимума  $x^* = 4$  несмотря на то, что массы тяжелых шариков были неизменными ( $m = 3$ ). Из расчетов следует, что  $y_1(10) = 4,047$ ,  $z_1(10) = 4,083$ , т. е. координата глобального экстремума функции  $f(x)$  и в этот раз найдена достаточно точно.

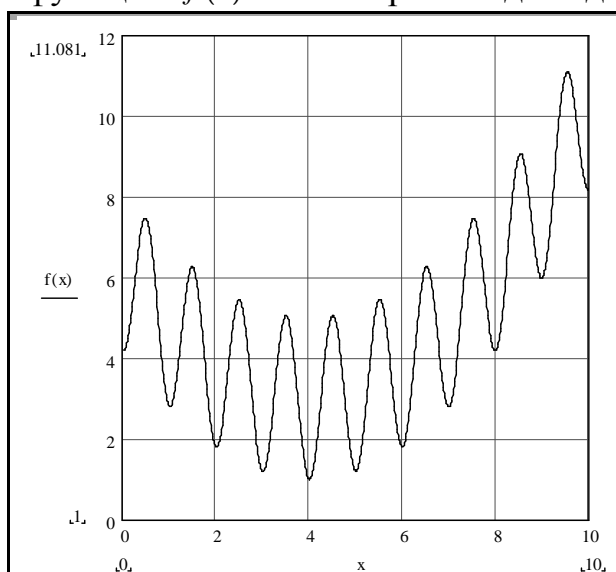


Рис. 4. График функции  $f(x) = 0,2(x - 4)^2 + 3 - 2 \cos(2\pi x)$

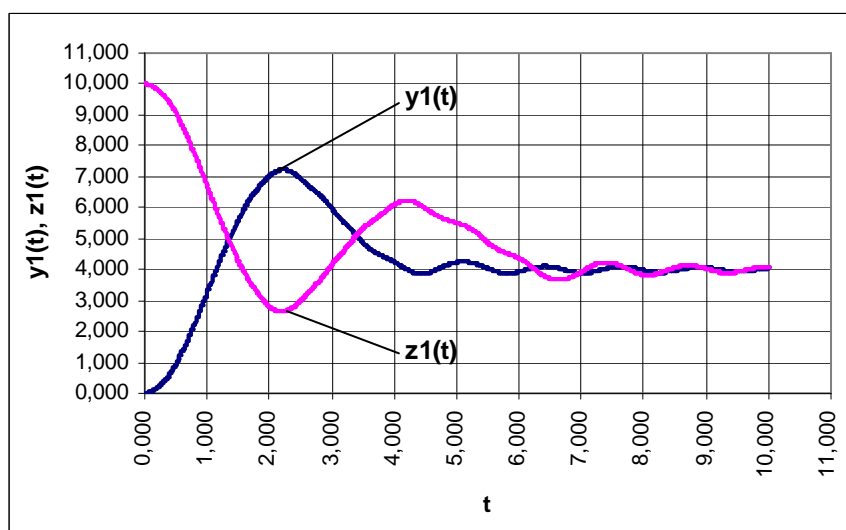


Рис.5. Графическая иллюстрация применения синтезированного алгоритма для функции (7) при  $m = 3$  и  $c = 2$

При необходимости путем регулирования масс  $m$  тяжелых шариков можно получить еще более высокую точность результата.

### **Выводы**

Таким образом, на основании выполненных исследований, видим, что алгоритм, который представляет собою симбиоз метода установления и концепции симметрии, обеспечивает хорошую сходимость изображающих точек к глобальному оптимуму многоэкстремальной функции.

Подобный результат, отличающийся от того, какой дает классический метод тяжелого шарика, можно объяснить именно применением концепции симметрии к процедуре распараллеливания процесса поиска экстремума функции  $f(x)$ . Начальную скорость шариков можно задавать равной нулю. Двигаться их навстречу друг другу заставляет слагаемое  $0,5q(y-z)^2$  вспомогательной функции  $F(y, z)$ . При этом они довольно активно взаимодействуют между собой.

Можно сказать, что шарики связаны эластичной нитью, которая притягивает их друг к другу до тех пор, пока они не остановятся в одной точке (пока не будет выполнено условие  $y = z$  и не обнулится слагаемое  $0,5q(y-z)^2$ ).

А поскольку используется алгоритм, который предполагает наличие возможности регулирования масс шариков, то процессы движения последних прекратятся в точке глобального оптимума. Шарики во время своего движения подвергнуты не только силам инерции, но и силе притяжения друг к другу.

В заключение следует отметить, что представленный в данной работе алгоритм поиска глобального экстремума функции, основанный на концепции симметрии, обладает хорошей работоспособностью и сходимостью. Об этом говорят не только приведенные здесь результаты, но и результаты его практического применения в задачах адаптивной идентификации объектов управления и автоматизированного проектирования различных устройств и систем.

### **Список литературы**

1. Бахвалов Н.С. Численные методы (анализ, алгебра, обыкновенные дифференциальные уравнения).- М.: Наука, 1973.- 632 с.
2. Корсун В.И. Использование симметрии для распараллеливания процесса поиска экстремума целевой функции в задачах оптимального проектирования и адаптивной идентификации // Математические модели и современные информационные технологии: Сб.науч.тр. НАН Украины. Ин-т математики.- К.: 1998.- С.66-68.
3. Корсун В.И., Демиденко М.А. Исследование алгоритма поиска экстремума целевой функции, основанного на применении концепции симметрии и параллельного пространства // Науковий вісник НГА України.- 2000. - №2. -С.101-104
4. Корсун В.И., Жихарев Ю.В., Галюта В.Л. Расширение возможностей методов установления при поиске глобального экстремума функции на основе концепции симметрии //Матеріали міжнародної конференції „Математичні проблеми технічної механіки”.- Дніпропетровськ: ДНВП „Системні технології”. -2005.-С.160.